

## ОПТИЧНІ, ОПТОЕЛЕКТРОННІ І РАДІАЦІЙНІ СЕНСОРЫ

## OPTICAL, OPTOELECTRONIC AND RADIATION SENSORS

УДК 621.382.2.029.64

### ВПЛИВ НИЗЬКОТЕМПЕРАТУРНОГО ВІДПАЛУ НА СТРУМИ У ФОТОДІОДНИХ СТРУКТУРАХ НА ОСНОВІ КРТ

**Ф. Ф. Сизов, І. О. Лисюк, Ж. В. Гуменюк-Сичевська,  
З. Ф. Цибрій, К. В. Андреєва**

Інститут фізики напівпровідників ім. В. Є. Лашкарьова НАН України,  
проспект Науки 41, Київ, 03028,  
тел. 525–57–48, e-mail: lysiuk@isp.kiev.ua.

### ВПЛИВ НИЗЬКОТЕМПЕРАТУРНОГО ВІДПАЛУ НА СТРУМИ У ФОТОДІОДНИХ СТРУКТУРАХ НА ОСНОВІ КРТ

**Ф. Ф. Сизов, І. О. Лисюк, Ж. В. Гуменюк-Сичевська, З. Ф. Цибрій, К. В. Андреєва**

**Анотація.** Подано результати дії серії послідовних низькотемпературних відпалів ( $70^{\circ}\text{C}$ ,  $80^{\circ}\text{C}$ ,  $90^{\circ}\text{C}$ ,  $100^{\circ}\text{C}$  тривалістю 10 годин) на розподіл струму в фотодіодних лінійках ІЧ діапазону (8–12 мкм), сформованих на епітаксійних плівках КРТ. Моделювання ВАХ фотодіода з урахуванням рівняння балансу носіїв заряду показало, що концентрація рекомбінаційних центрів зменшується, а час життя неосновних носіїв заряду збільшується. Висунуто припущення, що деградація фотодіодів після відпалу з температурою  $100^{\circ}\text{C}$  зумовлено малою товщиною епітаксійної плівки, а р-п переход після відпалу досягає інтерфейсної границі.

**Ключові слова:** фотодіоди, низькотемпературний відпал, дифузія, КРТ

### THE INFLUENCE OF LOW TEMPERATURE ANNEALING ON THE CURRENTS IN MCT PHOTODIODES

**F. Sizov, I. Lysiuk, J. Gumenjuk-Sichevska, Z. Tsybrii, K. Andreeva**

**Abstract.** The results of influence of a serial low temperature ( $70^{\circ}\text{C}$ ,  $80^{\circ}\text{C}$ ,  $90^{\circ}\text{C}$ ,  $100^{\circ}\text{C}$  during 10 hours) annealings of LW IR (8–12  $\mu\text{m}$ ) MCT photodiode arrays on dark current distribution have been shown. Modeling of the photodiode current-voltage characteristic subject to carriers balance equation has shown that concentration of recombination centers decreased, while lifetime of minority carriers increased. A supposition that after  $100^{\circ}\text{C}$  annealing the photodiode degradation is caused by the small film thickness and p-n-junction achieves the interface has been made.

**Keywords:** photodiodes, low temperature annealing, MCT, diffusion

## ВЛИЯНИЕ НИЗКОТЕМПЕРАТУРНОГО ОТЖИГА НА ТОКИ В ФОТОДИОДНЫХ СТРУКТУРАХ НА ОСНОВЕ КРТ

**Ф. Ф. Сизов, И. А. Лысюк, Ж. В. Гуменюк-Сычевская, З. Ф. Цибрий, Е. В. Андреева**

**Аннотация.** Приведены результаты влияния серии последовательно проведенных низкотемпературных отжигов ( $70^{\circ}\text{C}$ ,  $80^{\circ}\text{C}$ ,  $90^{\circ}\text{C}$ ,  $100^{\circ}\text{C}$  длительностью 10 часов) на распределение тока в фотодиодных линейках ИК-диапазона ( $8\text{--}12 \mu\text{мм}$ ), сформированных на эпитаксиальных пленках КРТ. Моделирование ВАХ фотодиода с учетом уравнения баланса носителей заряда показало, что концентрация рекомбинационных центров уменьшается, а время жизни увеличивается. Предполагается, что деградация фотодиодов после отжига с температурой  $100^{\circ}\text{C}$  обусловлена малой толщиной эпитаксиальной пленки, а р-п переход после отжига достигает интерфейсной границы.

**Ключевые слова:** фотодиоды, низкотемпературный отжиг, диффузия, КРТ

### Вступ

Відомо, що при низькотемпературному відпалі фотодіодів, сформованих на епітаксійних плівках кадмій-ртуть-телур (КРТ), відбувається покращення електричних характеристик: зменшення темнового струму при від'ємних зміщеннях напруги, збільшення диференційного опору фотодіодів [1, 2]. В роботах подаються дані про погіршення електрофізичних параметрів КРТ після низькотемпературного відпалу [3]. Зміни у вольт-амперних характеристиках (ВАХ) фотодіодів пов'язують з відпалом радіаційних дефектів в області **p-n** переходу, просторовим зміщенням переходу в шар з більшою структурною досконалістю [1, 6] та збільшенням довжини **p-n** переходу, яке веде до зменшення тунельних струмів. Використовують температури відпалу в межах  $90\text{--}150^{\circ}\text{C}$  [1],  $60\text{--}135^{\circ}\text{C}$  [2],  $120^{\circ}\text{C}$  [6] тривалістю від 1 години, зразок знаходитьться в атмосфері нейтрального газу, азоту, у вакуумі або повітрі.

Метою роботи було дослідження розподілу характеристик фотодіодної лінійки для далекого інфрачервоного діапазону ( $\lambda = 10 \mu\text{мм}$ ) при фіксованому зміщенні до та після низькотемпературного відпалу.

Дослідження проводилися на фотодіодних структурах, сформованих на плівках  $\text{Cd}_{0.22}\text{Hg}_{0.78}\text{Te}$ , які вирощено методом молекулярно-променевої епітаксії. Товщина епітаксійного шару  $\text{Cd}_{0.22}\text{Hg}_{0.78}\text{Te}$   $8 \mu\text{мм}$ . Фотодіодний масив форматом  $2\times 64$  елементів розміром  $30\times 30 \mu\text{мм}^2$  формувався методом імплантації іонів бору  $\text{B}^+$  з енергією  $100 \text{ кeВ}$  та дозою  $2\times 10^{13} \text{ см}^{-2}$ . Металічні контакти формувалися методом вакуумного напилення індію та вибухової

фотолітографії. Вольт-амперні характеристики фотодіодів вимірювалися мікрозондовим методом при температурі  $78 \text{ K}$  [4].

### Теоретична модель

Для визначення параметрів фотодіода, ми застосували теоретичну модель [5]. Ця модель враховує основні механізми струмопереносу для фотодіодів КРТ: дифузійний, генераційно-рекомбінаційний, тунельний. Тунельний струм обраховувався з двох складових: міжзонного тунелювання та тунелювання за допомогою рекомбінаційних центрів Шоклі-Ріда-Хола. Міжзонне тунелювання відбувається, коли носії заряду безпосередньо переходят з енергетичних станів зон через діодний бар'єр. При тунелюванні за допомогою пасток, між початковим та кінцевим станом носія заряду в зонах, носій перебуває в проміжному стані на рекомбінаційному центрі Шоклі-Ріда-Хола, а просторове положення центрів знаходитьться в збідненій області. В моделі використовувалось наближення балансу носіїв заряду, коли кількість електронів, які тунелювали з зони на рекомбінаційний центр дорівнює кількості дірок, які тунелювали з рекомбінаційного центру в зону. Розподіл зайнятих станів в рекомбінаційних центрах визначається часом життя носіїв заряду. В моделі враховувався тільки один енергетичний рівень рекомбінаційних центрів Шоклі-Ріда-Хола. Таке наближення може розглядатися як спрощення моделі, але, з іншого боку, найбільший вклад в тунельні струми через рекомбінаційний центр дають центри, енергетичне положення яких найбільш близьке до середини забороненої зони.

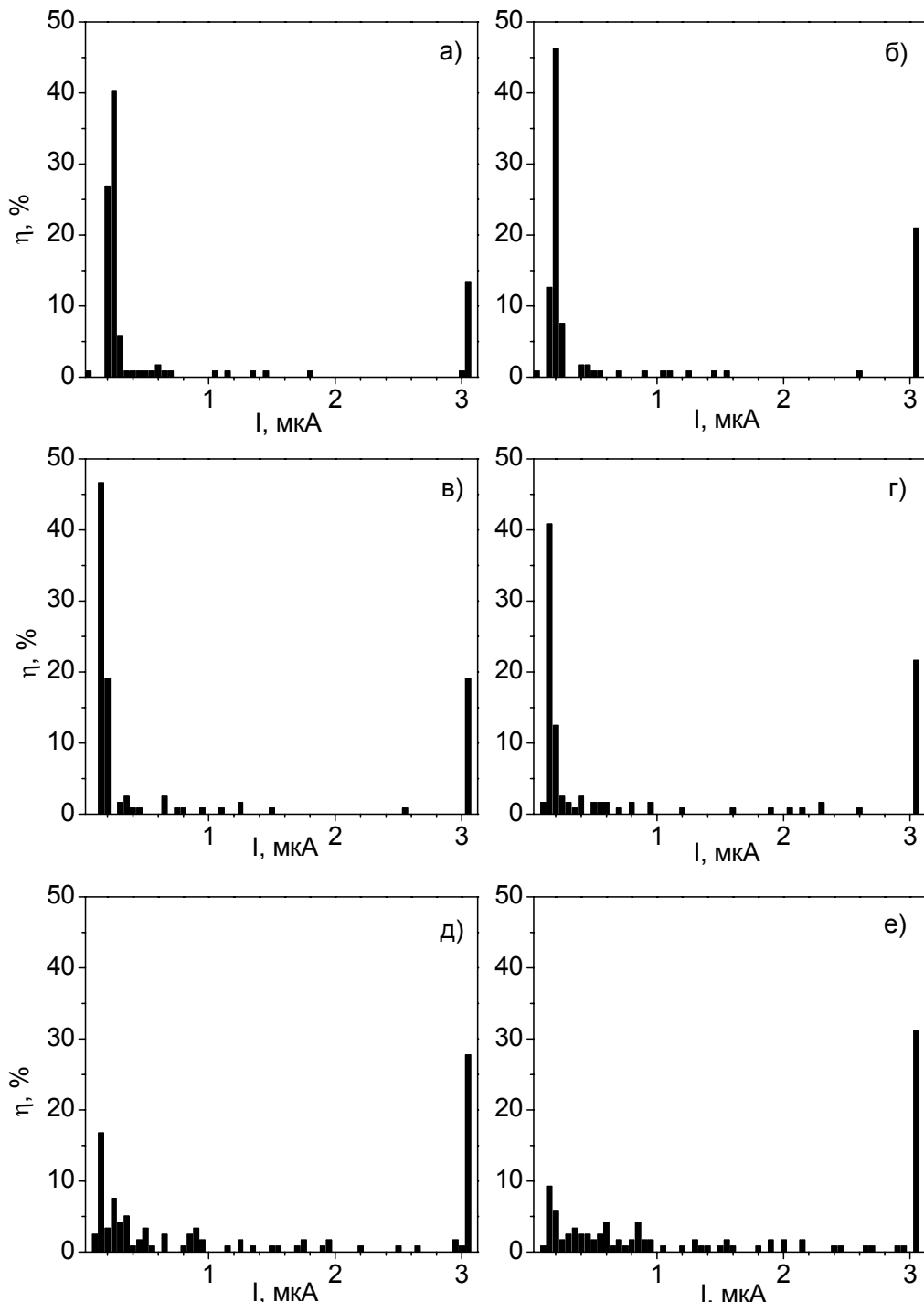


Рис. 1 Зміна розподілу темнових струмів фотодіодів при зміщенні напруги  $U=-0,1\text{В}$  до відпалу (а); після послідовних відпалів тривалістю 10 годин при температурах:  $70^\circ\text{C}$  (б);  $80^\circ\text{C}$  (в);  $90^\circ\text{C}$  (г);  $100^\circ\text{C}$  (д) та 47 діб після останнього відпалу (е)

### Результати відпалу

Проведено ряд циклів низькотемпературних відпалів фотодіодних структур при температурах  $T=70\text{--}100^\circ\text{C}$  тривалістю 10 годин. Діаграми розподілу струмів фотодіодів від 0 до 3 мкА з кроком 50 нА при зворотному зміщенні  $U=-0,1$  В подано на рис. 1. Так, до відпалу ви-

сота піку розподілу темнового струму фотодіодів при струмі 0,25 мкА становила 40,3 %, після відпалу з температурою  $70^\circ\text{C}$  висота піку при струмі 0,2 мкА становила 46,2 %, а після відпалу з температурою  $80^\circ\text{C}$  при струмі 0,15 мкА значення піку дорівнювало 46,7 %. Наступні відпали з температурами  $90^\circ\text{C}$  і  $100^\circ\text{C}$  не змі-

нювали положення цього піку по струму, але значно зменшували його величину до 40,8 % та 15,8 % відповідно. Після відпалу з температурою 100°C різко збільшується кількість фотодіодів з темновим струмом більше 3 мА. ВАХ та диференційний опір одного з фотодіодів до та після відпалів показані на рис. 2, 3. Як показують розрахунки, міжзонне тунелювання у діапазоні вимірюваних напруг на кілька порядків менше інших складових струму, тому в подальшому аналізі не обговорюються, а згадування тунельного струму буде торкатися тільки тунельного струму через рекомбінаційні центри Шоклі-Ріда-Хола. Після відпалу при температурах 70°C та 80°C відбувається одночасне зменшення дифузійного струму та тунельного струму. Струм насичення дифузійного струму до відпалу був  $1,5 \times 10^{-7}$  А, а після послідовних відпалів 70°C та 80°C дорівнює  $9,1 \times 10^{-8}$  А та  $8,0 \times 10^{-8}$  А відповідно. Фактично на рис. 2 для напруги  $U < -50$  мВ показаний тунельний струм з постійною складовою дифузійного струму. Параметри, які ми визначили за допомогою моделювання, показані в табл. 1. Видно, що концентрація центрів Шоклі-Ріда-Хола після послідовних відпалів зменшилася з  $N_t = 7,2 \times 10^{16}$  см<sup>-3</sup> до  $N_t = 2,2 \times 10^{16}$  см<sup>-3</sup>, а час життя носіїв заряду збільшився з  $t = 2,6 \times 10^{-9}$  с до  $t = 8,5 \times 10^{-9}$  с.

Таким чином, зменшення зворотних темнових струмів фотодіодів можна пов'язати зі зменшенням концентрації електрично активних дефектів (центрів Шоклі-Ріда-Хола) в збіденій зоні, яке можливе за рахунок компенсації цих дефектів та їх термостимульованої дифузії зі зсувом  $n^+ - p$  переходу в глибину епітаксійного шару, який є менш ушкодженим після імплантації [1, 2].

Збільшення темнового струму після відпалу з температурами 100°C може бути зумовлене суттєвим збільшенням товщини  $n$ -області, коли дифузійна довжина переважає товщину бази фотодіода, що спричиняє збільшення генераційно-рекомбінаційного струму в  $n$ -області. Крім того, збільшення фактичної площини фотодіода за рахунок латерального розширення  $p-n$  переходу [6] теж може бути причиною збільшення струму. Незрозуміло є деградація частини фотодіодів після відпалу з температурою 100°C тривалістю 10 годин, так, наприклад, в [2] при відпалі з температурою 120°C тривалістю 10 годин відбувалося збільшення диференційного опору. Можливим

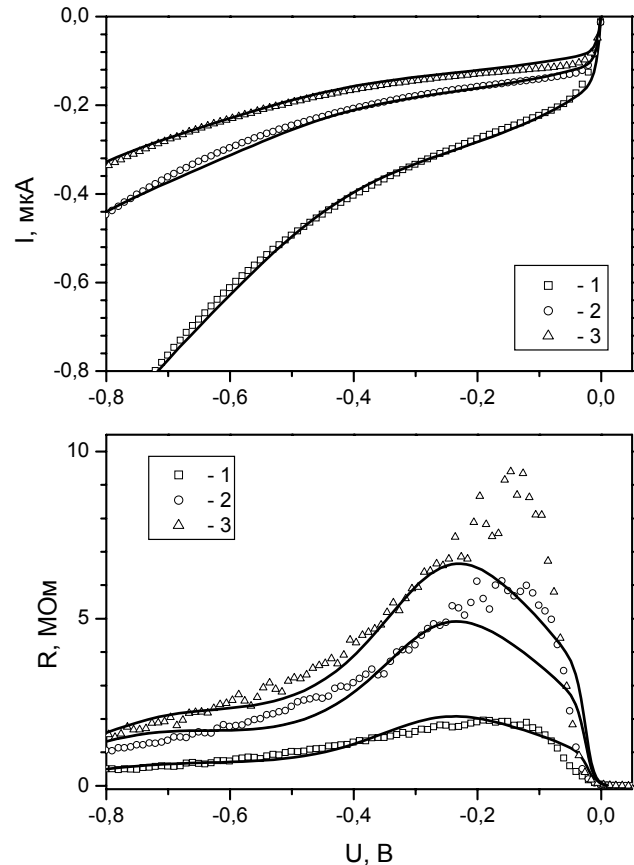


Рис. 2. Експериментальні (точки) і теоретичні (криві) ВАХ та диференційний опір фотодіода до (точки 1) та після послідовних відпалів тривалістю 10 годин: 2 — 70°C; 3 — 80°C відповідно. Значення підгороночних параметрів для кривих наведені в таблиці 1

поясненням може бути досягнення міжвузлями ртуті варізонної інтерфейсної границі плівка-підкладка, де може бути підвищена концентрація дислокаций. Дислокації можуть зменшувати часи життя неосновних носіїв заряду [8], бути додатковими каналами провідності та тунелювання [9], що збільшує темнові струми. Якщо ми візьмемо коефіцієнт дифузії міжвузль ртуті рівним  $D = 2.35 \times 10^{-11}$  см<sup>2</sup>/с при температурі 100°C [7], то глибина проникнення міжвузль  $w$  без врахування анігіляції міжвузль і вакансій ртуті може бути оцінена як  $w = \sqrt{Du}$ , де  $u$  — тривалість відпалу. Така оцінка дає величину 9,2 мкм, при товщині епітаксійної плівки 8 мкм. Так, в [1, 2] використовувались плівки з товщиною 20 мкм, в [6] — 12 мкм, а для епітаксійних плівок з такими товщинами необхідні більша тривалість та температура відпалу для початку деградації фотодіода, яке зумовлене досягненням  $n$ -області інтерфейсної границі плівка-підкладка, тому що в цих роботах деградація при відпалі до 100°C не спостерігалась.

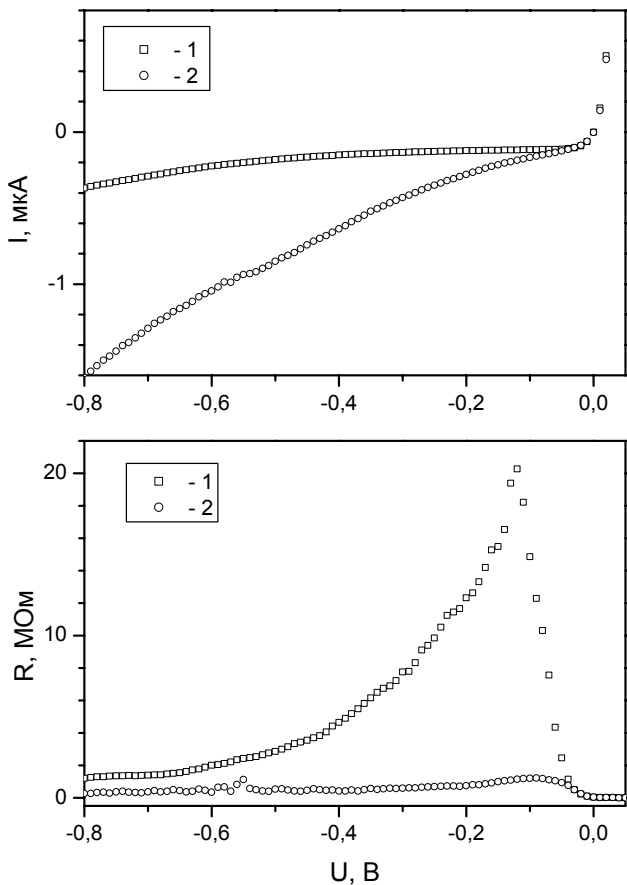


Рис. 3. Експериментальні ВАХ та диференційний опір фотодіода після послідовних відпалів тривалістю 10 годин з температурами 1–90°C, 2–100°C відповідно

Таб. 1

Значення вільних параметрів, які використовувалися для моделювання темнової ВАХ і диференційного опору, показаних на мал. 1.  $E_r$  — енергія рекомбінаційного центру Шоклі-Ріда-Хола, відносно границі валентної зони,  $N_a$  — концентрація акцепторів в  $p$ -області,  $N_d$  — концентрація донорів в  $n$ -області,  $N_t$  — концентрація пасток у області  $p-n$  переходу,  $t$  — час життя носіїв заряду.

Початкові	$T=70^{\circ}\text{C}$	$T=80^{\circ}\text{C}$
$E_r = 0.64 \text{ eV}$	$E_r = 0.64 \text{ eV}$	$E_r = 0.64 \text{ eV}$
$N_a = 0.8 \times 10^{15} \text{ cm}^{-3}$	$N_a = 0.8 \times 10^{15} \text{ cm}^{-3}$	$N_a = 0.8 \times 10^{15} \text{ cm}^{-3}$
$N_d = 1.0 \times 10^{18} \text{ cm}^{-3}$	$N_d = 0.9 \times 10^{18} \text{ cm}^{-3}$	$N_d = 0.6 \times 10^{18} \text{ cm}^{-3}$
$N_t = 7.2 \times 10^{16} \text{ cm}^{-3}$	$N_t = 3.0 \times 10^{16} \text{ cm}^{-3}$	$N_t = 2.2 \times 10^{16} \text{ cm}^{-3}$
$t = 2.6 \times 10^{-9} \text{ s}$	$t = 6.5 \times 10^{-9} \text{ s}$	$t = 8.5 \times 10^{-9} \text{ s}$

## Висновки

Залежно від режиму відпалу можна покращувати або погіршувати електричні характеристики фотодіодів, сформованих на епітаксійних піл'вках КРТ. Встановлено, що з проведених

нами термічних обробок, саме відпал з температурою 80°C тривалістю 10 годин найкраще зменшує зворотні темнові струми фотодіодів КРТ, тому що, зменшуються дифузійний струм та тунельний струм через рекомбінаційні центри Шоклі-Ріда-Хола. При відпалі з температурою 90°C тривалістю 10 годин в деяких фотодіодних елементах починаються процеси деградації. Відпал з температурою 100°C тривалістю 10 годин призводить до деградації всього фотодіодного масиву. Висунуто припущення, що деградація фотодіодів зумовлена досягненням  $n$ -області інтерфейсної границі піл'вка-підкладка. Моделювання ВАХ характеристик до та після відпалів 70°C, 80°C вибраного фотодіода показало зменшення концентрації центрів Шоклі-Ріда-Хола з  $N_t = 7.2 \times 10^{16} \text{ cm}^{-3}$  до  $N_t = 2.2 \times 10^{16} \text{ cm}^{-3}$  та збільшення часу життя неосновних носіїв заряду з  $t = 2.6 \times 10^{-9} \text{ s}$  до  $t = 8.5 \times 10^{-9} \text{ s}$  в збідненій області.

## Література

1. Akira Ajisawa, Naoki Oda. Improvement in HgCdTe diode characteristics by low temperature post-implantation annealing // Journal of Electronic Materials. — 1995. — V. 24, No. 9. — P. 1105–1111.
2. Васильев В. В., Протасов В. Н., Протасов Д. Ю., Талипов Н. Х. Влияние термообработок на параметры фотодиодов, сформированных ионной имплантацией бора в гетероэпитаксиальные слои МЛЭ  $\text{Cd}_x\text{Hg}_{1-x}\text{Te}$  р-типа // Прикладная физика. — 2005. — № 2. — С. 37–42.
3. Петухов В. Ю. Влияние низкотемпературного отжига на электрические и структурные характеристики эпитаксиальных слоев кадмий-рутуть-теллур и марганец-рутуть-теллур // Прикладная физика. — 2005. — № 6. — С. 125–128.
4. Сизов Ф. Ф., Забудский В. В., Голенков А. Г., Андреева К. В., Гузенко Г. О., Лысюк И. А. Методика измерения темновых токов полупроводниковых многоэлементных структур при криогенных температурах. // Контрольно-измерительные приборы и автоматика. — 2007. — № 1. — С. 4–7.
5. Gumenjuk-Sichevskaya J. V., Sizov F. F. Currents in narrow-gap photodiodes // Semicond. Sci. Tech. — 1999. — № 14. — p. 1–8.
6. Vishnyakov V. S.. Varavin M. O., Garifulin A. V.. Predein V. G., Remesnik, Sabinina I. V. and Sidorov G. Yu. Effect of Post-Implantaion Annealing on the Current-Voltage Characteristics of IR Photodiodes Based on p-HgCdTe // Optoelectronics, Instrumentation and Data Processing. — 2009. — Vol. 45, No. 4. — pp. 308–315.

7. Любченко А. В., Сальков Е. А., Сизов Ф. Ф. Физические основы полупроводниковой инфракрасной фотоэлектроники. — К.: Наук. думка, 1984. — 254с.
8. Овсяк В. Н., Васильев В. В., Талипов Н. Х., Ромашко Л. Н., Козлов А. И., Клименко А. Г., Марчишин И. В. Фотоприемные устройства на основе слоев КРТ, выращенные методом молекулярно-лучевой эпитаксии. — Новосибирск: Наука, 2001.
9. В. В. Евстропов, Ю. В. Жиляев, М. Джумаева, Н. Назаров. Туннельно-избыточный ток в невырожденных барьерных *p-n* и *m-s* структурах  $\text{A}^{\text{III}}\text{B}^{\text{V}}$  на Si. // ФТП. — 1997. — т, 31, № 2. — с. 152–158.